

شبیه سازی دو فازی رآکتور های بستر سیال شده گاز-جامد با مدل تانک های سری

روزبه جعفری⁺، رحمت ستوده قره باغ و نویل مستوفی*

تهران، دانشگاه تهران، دانشکده فنی، گروه مهندسی شیمی، مرکز تحقیقاتی طراحی و شبیه سازی فرایندها، صندوق پستی ۴۵۶۳-۱۱۳۶۵

چکیده: در این مقاله مدل جدیدی برای شبیه سازی رآکتور های بستر سیال شده بر مبنای روش تانک های سری ارایه شده است که قابل استفاده در نرم افزار های شبیه ساز فرایند است. در این مدل بستر سیال شده به تعدادی بخش برابر تقسیم می شود و هر بخش شامل فاز حباب و فاز امولسیون است. در هر بخش دو پدیده واکنش شیمیایی و انتقال جرم به صورت هم زمان رخ می دهد. فاز حباب با استفاده از رآکتور جریان قالبی و فاز امولسیون با استفاده از رآکتور به طور کامل آمیخته مدل شده اند. ویژگی های هیدرودینامیکی فازها با استفاده از مدل دینامیک دوفازی محاسبه می شود. اعتبار مدل ارایه شده به کمک داده های تجربی به دست آمده از مقاله ها بررسی شده و نتیجه های حاصل بیانگر دقت مناسب این مدل در پیش بینی عملکرد رآکتور بستر سیال هستند. نتیجه های این شبیه سازی می توانند در شبیه سازی فرایندهایی که در آن ها از بستر سیال استفاده می شود به کار رود.

واژه های کلیدی: شبیه سازی رآکتور، بستر سیال شده، مدل تانک های سری، مدل دینامیک دوفازی.

KEY WORDS: Reactor simulation, Fluidized bed, Sequential modular system, Dynamic two-phase.

مقدمه

بسیاری در دهه های اخیر بوده است [۱]. حتی امروزه انجام تحقیقات در این زمینه از نظر صنعتی و دانشگاهی حائز اهمیت است.

پدیده های موجود در بستر سیال را می توان به دو دسته فیزیکی و شیمیایی تقسیم کرد. پدیده های فیزیکی که مورد های مانند رفتار حباب، رفتار فازها و انتقال جرم بین فازها را شامل می شوند، به وسیله ای مدل های هیدرودینامیکی بیان می شوند. پدیده های شیمیایی که بیانگر واکنش های صورت گرفته در بستر هستند، به وسیله ای مدل های سینتیکی بیان می شوند. مدل های هیدرودینامیکی متفاوتی در منابع علمی معرفی شده اند که اکثرا بر مبنای نظریه دوفازی هستند [۲-۳]. در این نظریه رآکتور

بستر های سیال شده گاز-جامد کاربرد گسترده ای در صنایع شیمیایی دارند. سابقه استفاده از این بسترها به بیش از ۵۰ سال می رسد. از جمله موردهای کاربرد بستر های سیال شده در صنایع شیمیایی استفاده از آنها به عنوان رآکتور است. با کشف پدیده سیال سازی و مشخص شدن مزایای این روش نسبت به سایر روش های تماس گاز-جامد، به تدریج بسیاری از فرایندهایی که بر مبنای تماس فازهای گاز-جامد هستند مانند خشک کن ها، واحد های گرانول سازی و رآکتور های کاتالیستی گاز-جامد، با بستر های سیال شده جایگزین شده اند. گسترش کاربرد این نوع بسترها و لزوم شناخت پدیده های واقع شده در آنها زمینه تحقیقات

علمی پژوهشی

* E-mail: mostoufi@ut.ac.ir

خود نشان می‌دهند. این رفتارهای متفاوت تحت عنوان رژیم‌های سیال‌سازی بیان می‌شوند. اغلب مدل‌های ارایه شده تنها در یک رژیم سیال‌سازی خاص معتبر هستند [۹-۱۲]. از آنجا که رژیم‌های سیال‌سازی که رآکتورهای بستریال در آنها مورد استفاده قرار می‌گیرند به طور کامل قابل تفکیک نیستند یک مدل مناسب باید بتواند در پیش‌بینی عملکرد رآکتور بستریال شده در سرعت‌های متفاوت گاز سیال کننده (رژیم‌های متفاوت سیال‌سازی) معتبر باشد.

ج) برای شبیه‌سازی فرایندهای شیمیایی از نرم‌افزارهای شبیه‌ساز فرایند استفاده می‌شود. تمامی نرم افزارهای شبیه‌ساز فرایند دارای مدل‌های^(۱) استانداردی برای شبیه‌سازی واحدهای عملیاتی هستند. رآکتور بستریال شده در هیچ یک از نرم‌افزارهای شبیه‌سازی به صورت روال استاندارد تعریف نشده و به صورت استاندارد نمی‌توان از این واحد عملیاتی در نرم افزارهای شبیه‌سازی استفاده کرد. از این جهت باید مدلی ارایه شود که این مدل افزون بر دو ویژگی قبلی، توانایی به کارگیری در چنین نرم افزارهایی را نیز داشته باشد. همچنین مدل مناسب و قابل کاربرد در این نرم افزارها باید دارای این قابلیت باشد که به راحتی بتوان از ترکیب روال‌های استاندارد موجود در این نرم افزار رآکتور بستریال را شبیه‌سازی کرد.

در کلیه نرم افزارهای شبیه‌ساز فرایند مدل‌های استاندارد برای شبیه‌سازی رآکتورهای شیمیایی مانند رآکتورهای ساده، رآکتور جریان‌قالبی یا رآکتورهای به طور کامل آمیخته وجود دارد. در این مقاله هدف ارایه روشنی است که به راحتی بتوان رآکتورهای بستریال شده را با ترکیب مدل‌های استاندارد رآکتور موجود در نرم افزارهای شبیه ساز فرایند، شبیه‌سازی کرد. شبیه‌سازی بسترها سیال شده توسط افراد متفاوت انجام شده است. کار انجام شده در این مقاله از تمام مدل‌های از قبیل به دلایل زیر کاملتر است:

الف) در این کار مدل دوفازی برای شبیه‌سازی رآکتور بستر سیال مورد استفاده قرار گرفته است در حالی که در کارهای قبلی بیشتر از مدل‌های تک فازی یا دو فازی ساده استفاده شده است. واضح است که مدل دوفازی با واقعیت‌های فیزیکی بستر مطابقت بیشتری دارد.

بستریال شده به دو فاز جباب و امولسیون تقسیم می‌شود. فاز جباب بخشی از بستر را که غنی از گاز است شامل می‌شود و فاز امولسیون بخشی از بستر است که غنی از ذرات جامد است. مدل‌های هیدرودینامیکی اولیه دارای فرض‌های ساده کننده

بسیاری بودند برای مثال، از وجود ذره‌های جامد در فاز جباب صرف نظر کرده یا فاز امولسیون در شرایط حداقل سیال‌سازی در نظر گرفته می‌شد [۱۳-۱۱]. اما تحقیقات بعدی نشان داد که واقعیت پدیده‌های واقع شده در بسترها سیال شده با این فرضیات ساده به طور کامل متفاوت است [۴-۸]. تحقیقات بسیاری در زمینه هیدرودینامیک بسترها سیال شده صورت گرفته که منجر به ارایه مدل‌های متعددی جهت بیان هیدرودینامیک چنین بسترها شده است [۱۳-۱۱]. اعتبار این مدل‌ها در تخمین پارامترهای هیدرودینامیکی، در شرایط متفاوت عملیاتی و در سرعت‌های متفاوت گاز سیال کننده و رژیم‌های متفاوت سیال‌سازی با یکدیگر متفاوت است. مدل‌های ارایه شده اخیر با در نظر گرفتن فرضیات مناسب در تخمین پارامترهای هیدرودینامیکی از اعتبار بالایی برخوردار هستند، افزون بر آن می‌توان از این مدل‌ها در رژیم‌های متفاوت سیال‌سازی و در گستره وسیعی از سرعت گاز سیال کننده استفاده کرد [۹-۱۲].

افزایش ابعاد واحدهای عملیاتی از مقیاس آزمایشگاهی به مقیاس صنعتی و بهینه سازی و کنترل کارکرد این واحدها نیازمند مدل‌سازی و شبیه‌سازی واحدهای عملیاتی است. در مدل‌سازی یک رآکتور بستریال شده مدل‌های هیدرودینامیکی و مدل‌های سیتیکی با هم و به طور همزمان حل می‌شوند. یک مدل مناسب برای مدل‌سازی و شبیه‌سازی رآکتور بستریال شده باید دارای ویژگی‌های زیر باشد:

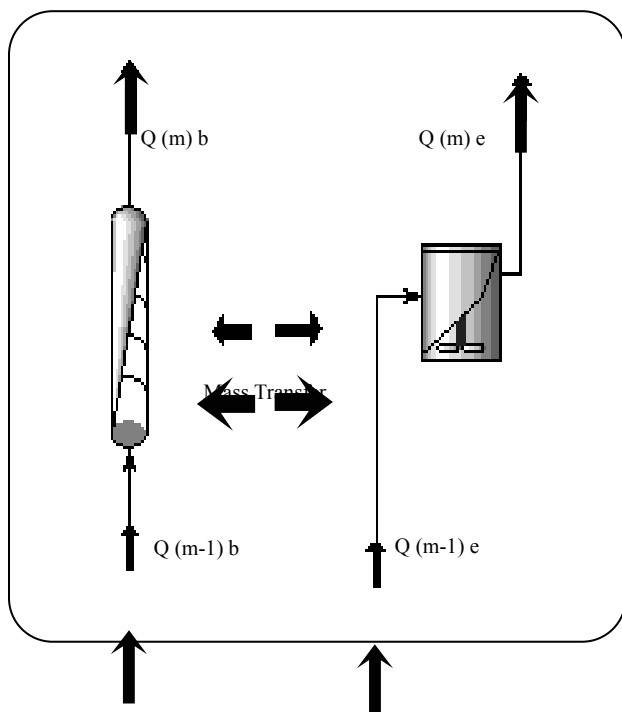
الف) سیستم‌های گاز-جامد مورد استفاده در رآکتورهای بستریال شده با توجه به مواد شرکت کننده در واکنش و نوع ذره‌های جامد، دارای ویژگی‌های فیزیکی متفاوتی می‌باشند. تفاوت سیستم‌ها را می‌توان با مقایسه پارامترهایی مانند عدد ارشمیدس، سرعت حداقل سیال‌سازی و سرعت انتقال از یک رژیم سیال‌سازی به رژیم سیال‌سازی دیگر بررسی کرد. مدل مناسب باید در پیش‌بینی عملکرد رآکتور بستریال شده در سیستم‌های متفاوت گاز-جامد از اعتبار بالایی برخوردار باشد.

ب) سیستم‌های متفاوت گاز-جامد با توجه به ویژگی‌های فیزیکی بستر با تعییر سرعت گاز سیال کننده رفتارهای متفاوتی از

- ۵) میزان تخلخل فاز حباب و فاز امولسیون در طول بستر ثابت فرض شده است.
- ۶) الگوی جریان در فاز امولسیون به صورت کامل آمیخته در نظر گرفته می شود. بر این اساس واکنش در فاز امولسیون با استفاده از یک رآکتور جریان آمیخته مدل شده است.
- ۷) انتقال جرم بین دو فاز با استفاده از نظریه‌ی کانی و

جدول ۱ - تعداد قسمت‌های بستر سیال کننده در شرایط متفاوت کارکرد بستر.

گروه بدون بعد Ha^*U/U_{mf}	تعداد قسمت‌های بستر n
$11/1 < Ha^*U/U_{mf}$	۱
$5/62 < Ha^*U/U_{mf} < 11/1$	۲
$0/63 < Ha^*U/U_{mf} < 5/62$	۳
$Ha^*U/U_{mf} < 0/63$	۴



شکل ۱- نمای شماتیک قسمت m مدل ارایه شده.

- لوئیسپل [۱] بیان می شود.
- ۸) پارامترهای هیدرودینامیکی (تخلخل در فاز حباب و امولسیون) با استفاده از مدل دینامیک دوفازی بر مبنای اعتبار این

ب) کارهای قبلی مطالعات موردی بوده‌اند اما در این مقاله سعی بر ارایه یک مدل عمومی برای شبیه‌سازی کلیه رآکتورهای بستر سیال بوده است.

ج) کارهای قبلی انجام شده اغلب نیازمند تخصص بالا در استفاده از نرم افزارهای شبیه‌سازی بوده ولی با استفاده از مدل ارایه شده در این مقاله شبیه سازی رآکتورهای بستر سیال برای

(۱) Modoul

هر مهندس فرایند با تسلط معمولی بر چنین نرم افزارهایی امکان پذیراست.

معرفی مدل

مدل ارایه شده در این مقاله بر مبنای فرضیه‌های زیر شکل یافته است:

(۱) بستر سیال شده به تعدادی قسمت با اندازه‌ی برابر تقسیم شده است. تعداد قسمت‌ها با استفاده از جدول ۱ مشخص می شود. در این جدول عدد بدون بعد J برای محاسبه تعداد قسمت‌ها معروف شده است. عدد بدون بعد J ترکیبی است از عدد Ha ، سرعت سیال‌سازی و سرعت حداقل سیال‌سازی. با توجه به روابط مورد استفاده برای محاسبه این متغیرها این عدد نسبت به تغییر اندازه‌ی ذره‌ها و رژیم‌های سیال‌سازی حساس است. زیاد بودن این عدد بدون بعد به معنی سرعت بالای سیال‌سازی نسبت به حداقل سیال‌سازی (U_0/U_{mf} زیاد) یا سریع‌تر بودن سرعت واکنش بستر سیال به رآکتور مخلوط ایده آل^(۱) نزدیک می شود و با کم شدن این مقدارها رفتار بستر به رآکتور جریان قالبی^(۲) نزدیکتر می شود. بنابراین، با استفاده از گروه بدون بعد J و جدول ۱ می‌توان رفتار بستر واقعی را که بین این دو رآکتور ایده‌آل قرار دارد را تعیین کرد. نمای شماتیک این مدل برای قسمت m را می‌توان در شکل ۱ مشاهده کرد.

(۲) هر یک از قسمت‌ها شامل دو فاز حباب و فاز امولسیون است.

(۳) جریان گاز در فاز حباب به صورت جریان به‌طور کامل قالبی فرض شده است. بر این اساس واکنش در فاز حباب با استفاده از رآکتور با جریان قالبی مدل می‌شود.

(۴) قطر حباب‌ها در طول بستر ثابت فرض شده اند، همچنین فرض شده است که حباب‌ها پس از تشکیل به سرعت به اندازه‌ی ثابت می‌رسند.

$$U_b = U_o - U_e + u_{br} \quad (3)$$

$$u_{br} = 0.711\sqrt{gD_b} \quad (4)$$

برای محاسبه D_b که قطر میانگین حباب در بستر است از رابطه موری و ون [۱۵] استفاده می‌شود. از آنجا که تغییر قطر حباب‌ها به طور معمول تا فاصله کمی از سطح توزیع کننده گاز صورت می‌گیرد، از این بخش کوتاه صرف‌نظر شده و در مدل استفاده شده برای محاسبه قطر حباب با در نظر گرفتن به هم پیوستن و شکست حباب‌ها قطعی میانگین برای حباب در طول بستر استفاده شده است.

$$D_{bo} = 0/8713 \left(\frac{A(U_o - U_{mf})}{N_D} \right)^{0.4} \quad (5)$$

$$D_{bm} = 1.6377(A(U_o - U_{mf}))^{0.4} \quad (6)$$

$$D_b = D_{bm} - (D_{bm} - D_{bo}) \exp \left(-0.15 \frac{h_{mf}}{D_r} \right) \quad (7)$$

با توجه به اینکه بستر به n قسمت برابر تقسیم شده است، حجم هر بخش $V_t = \frac{V_m}{n}$ خواهد بود. در این صورت حجم فاز حباب و امولسیون در هر بخش برابر خواهد بود:

$$V_{b_m} = V_m \delta \quad (8)$$

$$V_{e_m} = V_m (1 - \delta) \quad (9)$$

و حجم رآکتور پلاگ به طور کامل آمیخته با استفاده از رابطه‌های زیر محاسبه خواهند شد.

$$V_{PFR_m} = V_{b_m} \varepsilon_b \quad (10)$$

$$V_{CSTR_m} = V_{e_m} \varepsilon_e \quad (11)$$

پارامترهای هیدرودینامیکی با استفاده از مدل دینامیک دوفازی محاسبه می‌شوند [۱۳].

$$f = A_f(1) + A_f(2) \exp \left(- \frac{(U_o - U_{mf})}{A_f(3)} \right) \quad (12)$$

$$\varepsilon_b = A_{void-b}(1) + A_{void-b}(2) \exp \left(- \frac{(U_o - U_{mf})}{A_{void-b}(3)} \right) \quad (13)$$

$$\varepsilon_e = A_{void-e}(1) + A_{void-e}(2) \exp \left(- \frac{(U_o - U_{mf})}{A_{void-e}(3)} \right) \quad (14)$$

مدل در مقایسه با سایر مدل‌های هیدرودینامیکی موجود محاسبه شده اند [۹-۱۲]. در این مدل فاز حباب هم مانند فاز امولسیون دارای ذرات جامد است و جربان گاز در فاز امولسیون می‌تواند بیشتر از حالت حداقل سیال‌سازی باشد [۱۳].

(۹) از تغییرهای دما در طول رآکتور بسترسیال شده صرف نظر می‌شود. به این ترتیب کلیه ویژگی‌های فیزیکی و ثابت سرعت واکنش در طول رآکتور ثابت باقی می‌ماند.

(۱۰) از تغییرهای غلط در جهت شعاعی در رآکتور صرف نظر می‌شود.

(۱) Continuously Stirred Tank Reactor (CSTRS)

با توجه به فرضیه‌های مدل، رآکتور بسترسیال به n قسمت برابر تقسیم می‌شود. تعداد قسمت‌ها با استفاده از جدوا ۱. ۳۵ مشخص می‌شود. در این جدول با توجه به گروه بـ ۱ بعد تعداد قسمت‌های بستر مشخص می‌شود. گروه ۱ بدون بعد به گونه‌ای تعیین شده که بتواند معرف ویژگی‌های فیزیکی بستر باشد و از طرفی نسبت به تغییر رژیم سیال‌سازی با توجه به افزایش سرعت گاز سیال کننده حساس باشد.

واکنش در فاز گاز فرض شده است و سرعت واکنش‌ها بر مبنای واحد حجم فاز گاز ارایه شده است. هر یک از فازهای حباب و امولسیون دارای ذره‌های جامد هستند، به همین دلیل حجم مفید به کار رفته برای رآکتورهای مورد استفاده حجم فاز گاز در هر فاز در نظر گرفته شده است. با توجه به این که مدل سازی در حالت پایا انجام می‌شود موازنۀ جرم حول هریک از فازها را می‌توان به صورت زیر نوشت:

موازنۀ جرم در فاز حباب:

$$C_{Ab_{m-1}} U_b A_b - r_{A_m} V_{PFR_m} - \quad (1)$$

$$K_{be} (C_{Ab_m} - C_{Ae_m}) V_{b_m} - C_{Ab_m} U_b A_b = 0$$

موازنۀ جرم در فاز امولسیون:

$$C_{Ae_{m-1}} U_e A_e - r_{A_m} V_{CSTR_m} + \quad (2)$$

$$K_{be} (C_{Ab_m} - C_{Ae_m}) \left(\frac{\delta}{1-\delta} \right) V_{e_m} - C_{Ae_m} U_e A_e = 0$$

سرعت فاز حباب U_b از رابطه دیویدسون و همکاران [۱۴] محاسبه می‌شود.

مدول بهوسیله نرم افزار با استفاده از رابطه های (۳) تا (۱۸) محاسبه می شود.

نتیجه ها و بحث

برای تعیین اعتبار مدل در شبیه سازی رآکتور های بسترسیال شده از مجموعه اطلاعات تجربی ارایه شده در مقاله ها استفاده شده است. ویژگی های سیستم های متفاوت استفاده شده در جدول ۳ خلاصه شده است. نتیجه های مدل سازی رآکتور بسترسیال در شکل های ۲ تا ۴ نمایش داده شده اند. شکل ۲ نشان دهنده تغییرهای درصد تبدیل ازن در رآکتور بستر سیال شده با تغییرهای سرعت گاز سیال کننده در ثابت های متفاوت سرعت واکنش با استفاده از اطلاعات سان و گریث [۱۶] جدول ۳- ویژگی های سیستم های تجربی استفاده شده در مدل سازی رآکتور بسترسیال شده.

Parameter	Unit	Grace & Sun [۱۶]	Heidel et al. [۱۷]	Fryr & Potter [۱۸]
D _r	m	۰/۱	۰/۰۷۵	۰/۲۲۹
H	m	۲	۰/۲۶	۲
d _p	µm	۶۰	---	۱۱۷
ρ _s	kg/m ^۳	۱۵۸۰	---	۲۶۵۰
U _{mf}	m/s	۰/۰۰۲۶	۰/۰۱۱	۰/۰۱۷
U _e [۱۹]	m/s	۰/۶۵۰۲	۰/۷۵	۱/۴۱۸۲
ε _{mf}	-	۰/۴۷۵	۰/۵	۰/۴۸
Geldart	-	A	A	B

و نتیجه های حاصل از مدل سازی است. در این رآکتور ازن به اکسیژن تجزیه می شود، که یک واکنش درجه ای اول بر مبنای ازن است و گاز سیال کننده بستر هوا است. با مقایسه نتیجه های تجربی و نتیجه های حاصل از مدل سازی، می توان گفت مدل مورد بحث در این مقاله در پیش بینی درصد تبدیل رآکتور از نتیجه های خوبی برخوردار است، هرچند تفاوتی میان نتیجه های حاصل از مدل سازی و نتیجه های تجربی مشاهده می شود. اطلاعات تجربی ارایه شده توسط سان و گریث [۱۷] در برگیرنده گستره ای وسیعی از سرعت گاز سیال کننده از سرعت حداقل سیال سازی تا سرعت هایی بالاتر از سرعت سیال سازی درهم است. مقایسه نتیجه های حاصل از مدل سازی با اطلاعات تجربی نشان دهنده آن

$$\delta = 1 - f \quad (15)$$

ثابت های مورد استفاده برای محاسبه مقدارهای ε_b, ε_e و f که به ترتیب مربوط به تخلخل در فاز حباب، تخلخل در فاز امولسیون و جزء حجمی فاز امولسیون است، برای مدل دینامیک دوفازی توسط کوبی و همکاران [۱۳] ارایه شده اند که این مقدارها در جدول ۲ خلاصه شده اند. برای محاسبه ضریب انتقال جرم از رابطه های ارایه شده توسط کانی و لونشپیل استفاده می شود [۱].

$$\frac{1}{K_{be}} = \frac{1}{K_{bc}} + \frac{1}{K_{ce}} \quad (16)$$

$$K_{bc} = 4.5 \left(\frac{U_e}{D_b} \right) + 5.85 \left(\frac{D_{AB}^{0.025} g^{0.25}}{D_b^{5/4}} \right) \quad (17)$$

جدول ۲- مقدارهای ثابت های مورد استفاده در مدل دینامیک دوفازی [۱۳].

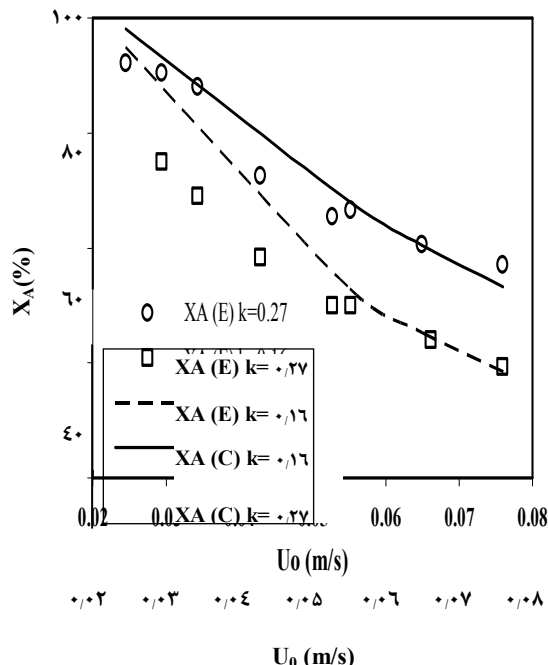
ثابت ها	FCC	Sand
A _{f(1)}	•	•/۴۶۶
A _{f(2)}	۱	•/۵۳۴
A _{f(3)}	•/۶۲	•/۴۱۳
A _{vod-b (1)}	•/۷۸۴	۱
A _{vod-b (2)}	-•/۱۳۹	-•/۱۴۶
A _{vod-b (3)}	•/۲۷۲	۴/۴۳۹
A _{vod-e (1)}	ε _{mf}	ε _{mf} + •/۲
A _{vod-e (2)}	•/۰۰۰۶۱	-•/۰۵۹
A _{vod-e (3)}	-•/۲۶۲	•/۴۲۹

$$K_{ce} = 6/77 \left(\frac{D_{AB} \epsilon_e U_{br}}{D_b^3} \right)^{0.5} \quad (18)$$

که در این رابطه ها K_{bc} ضریب انتقال جرم از فاز حباب به فاز ابر و K_{ce} ضریب انتقال جرم از فاز ابر به فاز امولسیون است. برای شبیه سازی رآکتور بستر سیال به صورت زیر عمل می شود. با توجه به ویژگی های فیزیکی بستر و سرعت گاز سیال کننده مقدار عددی گروه بدون بُعد محاسبه می شود. سپس با استفاده از جدول ۱ تعداد قسمت ها مشخص می شود. مشخص شدن تعداد قسمت ها بیانگر آن است که چند گروه رآکتور شامل رآکتورهای CSTR و PFR باید مورد استفاده قرار گیرند. به این تعداد مدول رآکتور در نرم افزار شبیه ساز نصب می شود و اطلاعات مورد نیاز نرم افزار برای صفر شدن درجه آزادی و حل

سرعت واکنش بر مبنای اطلاعات تجربی هیدل و همکاران [۱۷] و نتیجه‌های حاصل از مدل سازی است. در رآکتور مورب برسی در این سیستم، اتیلن در مجاورت مقدار اضافی از هیدروژن، هیدروژن شده و به اتان تبدیل می‌شود. به علت وجود مقدار اضافی از هیدروژن، واکنش نسبت به اتیلن از درجه اول بوده و گاز سیال کننده هیدروژن است. مطالب گفته شده درمورد شکل ۲ در این شکل نیز درست است. نتیجه‌های حاصل از مدل سازی از دقت مناسبی برخوردار هستند، هرچند برخلاف نتیجه‌های بهدست آمده در شکل ۲ مدل درصد تبدیل را بیشتر از نتیجه‌های تجربی محاسبه می‌کند.

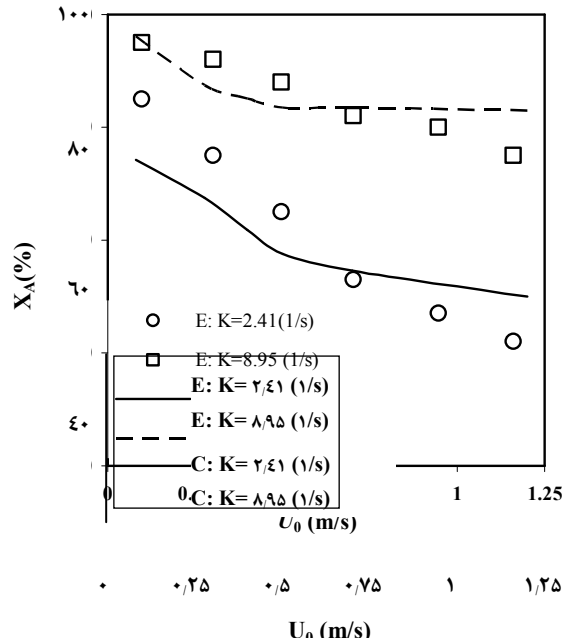
با بررسی رابطه‌های ۱۲ تا ۱۵ می‌توان گفت در مدل دوفازی دینامیک مقدارهای تخلخل در فاز حباب و فاز امولسیون بیشتر از مقدار واقعی تخمین‌زده می‌شوند، به این ترتیب مقدارهای حجم رآکتورها در دوفاز و تعداد قسمت‌های بستر افزایش یافته و



شکل ۳- تغییرهای درصد تبدیل اتیلن با تغییرهای سرعت گاز سیال کننده در رآکتور بستر سیال شده هیدروژن دار کردن اتیلن، (C) نتیجه‌های حاصل از مدل سازی، (E) نتایج اطلاعات تجربی براساس اطلاعات هیدل و همکاران [۱۷].

نتیجه‌های حاصل از مدل سازی بیشتر از نتیجه‌های تجربی محاسبه می‌شود.

است که مدل مورد بحث می‌تواند در رژیم‌های متفاوت سیال‌سازی و در سرعت‌های متفاوت گاز سیال کننده رفتار رآکتور را به خوبی پیش‌بینی کند. حداکثر خطای مشاهده شده ۲۰ درصد می‌باشد. به طور کلی مشاهده می‌شود که، با افزایش سرعت واکنش، تفاوت میان نتیجه‌های حاصل از مدل سازی با داده‌های تجربی ارایه شده افزایش می‌یابد. با افزایش سرعت واکنش هیدرودینامیک بستر سیال شده نقش بیشتری در تعیین عملکرد رآکتور بستر سیال شده ایفا می‌کند چرا که در سرعت‌های بالای واکنش با توجه به این که کنترل کننده واکنش، پارامترهای هیدرودینامیکی است، هرچه مدل هیدرودینامیکی تخمین مناسب‌تری از پارامترهای هیدرودینامیکی موثر در عملکرد مدل مانند تخلخل در فاز حباب، تخلخل در فاز امولسیون و



شکل ۲- تغییرهای درصد تبدیل ازن با تغییرهای سرعت گاز سیال کننده در رآکتور بستر سیال شده تجزیه ازن، (C) نتیجه‌های حاصل از مدل سازی، (E) نتیجه‌های اطلاعات تجربی براساس اطلاعات سان و گریث [۱۶].

جزء حجمی فاز حباب ۵ ارایه کند، با توجه به تاثیر مقدار صحیح این پارامترها در محاسبه حجم رآکتورهای جریان قالبی و به طور کامل آمیخته در فازهای حباب و امولسیون، نتیجه‌های حاصل از مدل سازی تطابق بهتری با نتیجه‌های تجربی خواهد داشت.

شکل ۳ نشان‌دهنده تغییرهای درصد تبدیل اتیلن در رآکتور بستر سیال شده با تغییر سرعت گاز سیال کننده در ثابت‌های متفاوت

با بررسی نتیجه های ارایه شده در شکل ۴ مشاهده می شود که همانند آنچه که برای ذره های گروه A گلدارت گفته شد، با افزایش سرعت گاز سیال کننده و افزایش ثابت سرعت واکنش تفاوت میان نتیجه های تجربی و مدل سازی افزایش می یابد، چرا که با افزایش سرعت واکنش نقش هیدرودینامیک به عنوان تعیین کننده میزان اختلاط میان فازها در پیش بینی عملکرد رآکتور بستر سیال بیشتر شده و اندک خطای مدل هیدرودینامیکی در تعیین پارامترهای هیدرودینامیکی، در نتیجه های حاصل از مدل سازی بیشتر تاثیرگذار خواهد بود.

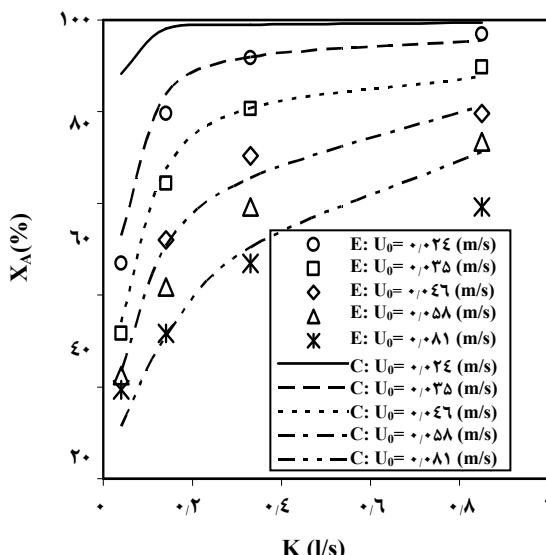
با بررسی شکل ۴ مدل مورد بحث درصد تبدیل در رآکتور را بیشتر از نتیجه های تجربی ارایه شده تخمین می زند. دلیل این امر را می توان چنین شرح داد که مدل هیدرودینامیکی دینامیک دوفازی مقدارهای تخلخل در فاز حباب و امولسیون را بیشتر از مقدار واقعی تخمین می زند، به همین دلیل حجم معادل رآکتورهای PFR و CSTR در فازهای حباب و امولسیون، بیشتر از مقدار واقعی محاسبه شده و مدل، درصد تبدیل رآکتور را دقیق این مقدارها به وسیله ای مدل دوفازی دینامیک به کامل تجزیه از مطالعه ذکر شده در مورد ذره های گروه A گلدارت مقدار ثابت های مورد استفاده در مجموعه رابطه های

بررسی مدل دینامیک دوفازی نشان می دهد که برای محاسبه ثابت های مورد استفاده در رابطه های ارایه شده در این مدل (رابطه های ۱۲ تا ۱۵) که در جدول ۲ خلاصه شده اند، آزمایش هایی با استفاده از ذرات جامدی نماینده گروه A گلدارت^(۱) انجام شده که ویژگی های مورد استفاده در آن آزمایش ها که منجر به اعداد جدول ۲ برای ذرات A گلدارت شده است با ویژگی های سیستم های تجربی مورد استفاده در این مقاله متفاوت است. این تفاوت را می توان با مقایسه حداقل سرعت سیال سازی میان سیستم های متفاوت گاز-جامد یا مقدارهای عدد ارشمیدس محاسبه شده برای هر یک از سیستم های گاز-جامد مشاهده کرد. از آنجایی که ضریب های معادله های مدل دینامیک دوفازی با تغییر سیستم گاز-جامد تغییر نمی کند مدل دینامیک دوفازی برای تخمین پارامترهای هیدرودینامیکی نسبت به تغییر سیستم گاز-جامد حساس نیست. به این علت پارامترهای هیدرودینامیکی سیستم متفاوت از مقدارهای واقعی آن محاسبه شده و تفاوت میان نتیجه های حاصل از مدل سازی با نتیجه های تجربی مشاهده می شود. در صورتی که مقدارهای ثابت های در رابطه های (۱۲) تا (۱۵) در مدل دینامیک دوفازی با نوع سیستم گاز-جامد (عدد ارشمیدس)^(۱) Geldrat

مرتبط باشد، این مدل می تواند تخمین بهتری از پارامترهای هیدرودینامیکی سیستم (تخلخل فاز حباب و امولسیون) ارایه دهد [۱۰].

در سیستم مورد استفاده به وسیله فریر و پاتر [۱۸]، رفتار ذره های جامد مانند رفتار ذره های جامد گروه B گلدارت است. شکل ۴ نمایش دهنده تغییرهای درصد تبدیل ازن در رآکتور بستر سیال شده در سرعت های متفاوت از گاز سیال کننده و ثابت های متفاوت سرعت واکنش بر مبنای اطلاعات تجربی حاصل از فریر و پاتر [۱۸] و نتیجه های حاصل از مدل سازی است. در این رآکتور واکنش تجزیه ازن انجام می گیرد که واکنش درجه اول بر مبنای ازن و گاز سیال کننده هوا است.

نتیجه های حاصل از مدل سازی، بیانگر آن است که مدل در پیش بینی عملکرد رآکتور بستر سیال برای ذره های گروه B گلدارت در بیشتر موارد و در غیر شرایط حدی از دقت قابل قبولی برخوردار است. مقایسه نتیجه های حاصل از مدل سازی با نتیجه های تجربی نشان دهنده تفاوتی است که علت این تفاوت را می توان به شرح زیر بیان کرد.



شکل ۴- تغییرهای درصد تبدیل ازن با تغییرهای سرعت گاز سیال کننده در رآکتور بستر سیال شده تجزیه ازن، (C) نتیجه های حاصل از

مدل که برای محاسبه این پارامترها استفاده می‌شوند برای کلیه سیستم‌های گاز-جامد یکسان می‌باشد، تفاوت میان نتیجه‌های حاصل از مدل سازی و نتیجه‌های تجربی مشاهده می‌شود. اصلاح مدل دینامیک دوفازی به نحوی که مقدار ثابت‌های مورد استفاده در این مدل برای تخمین مقدار پارامترهای هیدرودینامیکی با ویژگی‌های فیزیکی سیستم (گاز - جامد) برای مثال عدد ارشمیدس مربوط باشد باعث افزایش دقت شبیه‌سازی راکتورهای بسترسیال با استفاده از مدل ارایه شده در این مقاله می‌شود.

نمادها

A	سطح مقطع (m^2)
$A_{f(1)}$	ثابت مورد استفاده در مدل دوفازی دینامیک
$A_{f(2)}$	ثابت مورد استفاده در مدل دوفازی دینامیک
$A_{f(3)}$	ثابت مورد استفاده در مدل دوفازی دینامیک
$A_{Void-b(1)}$	ثابت مورد استفاده در مدل دوفازی دینامیک
$A_{Void-b(2)}$	ثابت مورد استفاده در مدل دوفازی دینامیک
$A_{Void-b(3)}$	ثابت مورد استفاده در مدل دوفازی دینامیک
$A_{Void-e(1)}$	ثابت مورد استفاده در مدل دوفازی دینامیک
$A_{Void-e(2)}$	ثابت مورد استفاده در مدل دوفازی دینامیک
$A_{Void-e(3)}$	ثابت مورد استفاده در مدل دوفازی دینامیک
C_A	غلظت ماده A ($Kg mole/m^3$)
D_{AB}	ضریب نفوذ (m^2/s)
D_b	قطر میانگین حباب (m)
D_{bm}	حداکثر قطر حباب (m)
d_p	قطر میانگین ذره‌های جامد (m)
D_{bo}	قطر اولیه حباب (m)
D_r	قطر راکتور (m)
f	جزء حجمی فاز امولسیون
g	شتاب جاذبه زمین (m/s^2)
Ha	عدد بدون بعد هاتا
h_{mf}	ارتفاع بستر در حالت حداقل سیال سازی (m)
H	ارتفاع بستر (m)
K	ثابت سرعت واکنش (1/s)
K_{bc}	ضریب انتقال جرم از فاز حباب به ابر (m/s)
K_{be}	ضریب انتقال جرم از فاز حباب به امولسیون (m/s)
K_{ce}	ضریب انتقال جرم از فاز ابر به امولسیون (m/s)

مدل سازی، (E) نتیجه‌های اطلاعات تجربی براساس اطلاعات فریر و پاتر [۱۸].

(۱۲) تا (۱۵) برای ذره‌های B گلدارت بر مبنای سیستم گاز-جامدی متفاوت از سیستم‌های مورد استفاده در این مقاله تعیین شده اند. در سیستم گاز - جامدی که سرعت حداقل سیال سازی کمتر از سیستمی که آزمایش‌های مدل دوفازی دینامیک روی آن انجام شده است، به علت آنکه طبق رابطه‌های (۱۶) تا (۱۷) مقدارهای تخلخل در فاز امولسیون و حباب بیشتر از مقدار واقعی محاسبه می‌شوند، پس مقدار حجم راکتورها بیشتر از مقدار واقعی محاسبه می‌شود و درصد تبدیل بیشتر از نتیجه‌های تجربی محاسبه می‌شود.

نتیجه گیری

با توجه به کلیه مطالب گفته شده و مقایسه نتیجه‌های حاصل از مدل سازی با نتیجه‌های تجربی، مدل ارایه شده در این مقاله مدلی معتبر در پیش‌بینی رفتار راکتور بستر سیال می‌باشد و همچنین دارای ویژگی‌های زیر است:

- (۱) برای کلیه سیستم‌های گاز - جامد اعم از ذره‌های گروه A و گروه B گلدارت معتبر است.
- (۲) در سرعت‌های متفاوت گازسیال‌کننده یا رژیم‌های متفاوت سیال سازی معتبر است.

(۳) تتویری مدل به گونه‌ای است که استفاده از این مدل برای شبیه‌سازی راکتورهای بسترسیال شده در نرم افزارهای شبیه‌ساز فرایند به راحتی ممکن است. کلیه نرم افزارهای شبیه‌ساز فرایندهای شیمیایی دارای مدول‌های استاندارد برای شبیه‌سازی راکتور قالبی و به طور کامل آمیخته هستند به این ترتیب با ترکیب این مدول‌ها با توجه به روش ارایه شده در این مقاله می‌توان راکتورهای بسترسیال شده را در این دسته از نرم افزارها به راحتی شبیه‌سازی کرد.

مقایسه نتیجه‌های حاصل از شبیه‌سازی با اطلاعات تجربی به دست آمده از مقاله‌ها برای سیستم‌های متفاوت گاز-جامد نشان‌دهنده آن است که تفاوت موجود میان داده‌های تجربی با نتیجه‌های حاصل از شبیه‌سازی به این علت است که اگر چه مدل دینامیک دوفازی در تخمین پارامترهای هیدرودینامیکی (جزء حجمی فاز حباب و تخلخل فاز حباب و امولسیون) از دقت مطلوبی برخوردار است ولی از آن جا که این مدل نسبت به تغییر سیستم گاز-جامد حساس نیست و ثابت‌های مورد استفاده در این

زیر نویس ها		N_D	تعداد سوراخ در واحد سطح صفحه پخش کننده
b	فاز حباب	r_A	سرعت واکنش بر مبنای ماده A ($\text{Kgmole}/\text{m}^3 \text{s}$)
e	فاز امولسیون	U_b	سرعت گاز در فاز حباب (m/s)
m	بخش m ام	U_{br}	سرعت صعود حباب (m/s)
فهرست علایم یونانی		U_c	حداقل سرعت سیال سازی در هم (m/s)
ρ_s	چگالی ذره های جامد (kg/m^3)	U_e	سرعت گاز در فاز امولسیون (m/s)
ε_b	تخلخل فاز حباب	U_{mf}	سرعت حداقل سیال سازی (m/s)
ε_e	تخلخل فاز امولسیون	U_o	سرعت گاز سیال کننده (m/s)
δ	جزء حجمی فاز حباب	V_b	حجم فاز حباب (m^3)
تاریخ دریافت: ۸۲/۴/۸؛ تاریخ پذیرش: ۸۳/۲/۲۵		V_{CSTR}	حجم رآکتور کاملاً آمیخته (m^3)
		V_e	حجم فاز امولسیون (m^3)
		V_{PFR}	حجم رآکتور جریان قالبی (m^3)

مراجع

- [1] Kunni, D. and Levenspiel, O., "Fluidization Engineering", 2nd ed., Butterworth-Heinemann, Boston, (1991).
- [2] Lim, K. S., Zhu, J. X. and Grace J. R., Hydrodynamic of Gas-solid Fluidization, *Int. J. Multiphase flow*, **21**, p. 141(1995).
- [3] Bi, H., Ellis, N., Abba, I. A. and Grace, J. R., A State-of-the-art Review of Gas-solid Turbulent Fluidization, *Chem. Eng. Sci.*, **55**, p. 4789 (2000).
- [4] Aoyagi, M. and Kunni, D., Importance of Dispersed Solid in Bubbles for Exothermic Reactions in Fluidized Beds, *Chem. Eng. Comm.*, **1**, p. 191 (1974).
- [5] Abrahamson, A. R. and Geldart, D., Behavior of Gas-Solid Fluidized Bed of Fine Powders: Part II, Voidage of the Dense Phase in Bubbling Beds, *Powder Technol.*, **26p 47** 1980).
- [6] Batchelor, G. K. and Nitche, J. M., Explosion of Particle from Buoyant Blob in Fluidized Bed, *J. Fluid Mech.*, **278**, p. 63 (1994).
- [7] Gilbertson, M. A. and Yates, J. G., The Motion of Particles Near a Bubble in Gas-Fluized Bed, *J. Fluid Mech.*, **323**, p. 377 (1996).
- [8] Chaouki, J., Gonzalez, A., Guy, C. and Klvana, D., Two-Phase Model for a Catalytic Turbulent Fluidized Bed Reactor: Application to Ethylene Synthesis, *Chem. Eng. Science*, **54**, p. 2039 (1999).
- [9] Jafari, R., Sotudeh-Garebagh, R. and Mostoufi, N., Performance of the Wide-Ranging Models for Fluidized Bed Reactors, *Advanced Powder Technology*, **15**, p. 533 (2004).
- [۱۰] جعفری، روزبه؛ شبیه سازی رآکتور بستر سیال تولید ملامین، پروژه کارشناسی ارشد، گروه مهندسی شیمی، دانشکده فنی، دانشگاه تهران. دی ماه (۱۳۸۱).

[۱۱] جعفری، روزبه؛ ستوده قره باغ، رحمت؛ مستوفی، نوید؛ مقایسه مدل‌های هیدرودینامیکی دوفازی در پیش‌بینی عملکرد رآکتور بستررسیال شده تجزیه ازن، مجموعه مقاله‌های هفتمین کنگره ملی مهندسی شیمی ایران، جلد ۴، صفحه ۴۱۲، (۱۳۸۱).

- [12] Mostoufi, N., Cui, H., Chaouki, J., A Comparision of Two and Single-Phase Models for Fluidized Bed Reactors, *Ind. Eng. Chem. Res.*, **40**, p 5526 (2002).
- [13] Cui, H., Mostoufi, N. and Chaouki, J., Characterization of Dynamic Gas-Solid Distributionin Fluidized Bed, *Chem. Eng. J.*, **79**, p. 133 (2000).
- [14] Davidson J. F., and Harrison D., “Fluidized Particles”, Cambridge University Press, New York, (1963).
- [15] Mori S. and Wen C. Y., Estimation of Bubble Diameters in Gaseous Fluidized Beds, *AICHE J.*, **21**, p. 109 (1975).
- [16] Grace, J. R. and Sun, G., Influence of Particle Size Distribution on the Performance of Fluidized Bed Reactor, *Canadian J. Chem. Eng.*, **69**, p 1126 (1991).
- [17] Heidel, K., Schugerl, K., Fetting F., and Schiemann G., Einfluß von mischungsvorgängen auf den umsatz bei der äthylenhydrierung in fließbetten, *Chem. Eng. Sci.*, **20**, p. 557 (1965).
- [18] Fryer, C. and Potter, O. E., Experimental Investigation of Model for Fluidized Bed Catalytic Reactors, *AICHE J.*, **22**, p 38 (1976).
- [19] Bi, H., Grace, J. and Lim K. S., Transition from Bubbling to Turbulent Fluidization, *Ind. Eng. Chem. Res. Dev.*, **34**, p 4003 (1995).